doi:10.3969/j.issn.1006-9852.2022.01.013

背根神经节脉冲射频联合连续射频治疗 胸段带状疱疹后神经痛*

田文海 ¹ 秦卫东 ¹ 白 韬 ¹ 杨 平 ¹ 余 威 ¹ 蒋宗滨 ^{2 \triangle} (¹广西壮族自治区南溪山医院疼痛科,桂林 541002; ²广西医科大学第二附属医院疼痛科,南宁 530007)

带状疱疹后神经痛 (postherpetic neuralgia, PHN) 是急性带状疱疹愈合后1个月仍持续存在的一种疼 痛,为带状疱疹最常见的并发症,我国 PHN 的发 病率为9%~34%[1],其治疗以药物为基础,常结 合微创介入治疗、射频治疗等方法。射频治疗模式 包括连续射频 (continuous radiofrequency, CRF) 和脉 冲射频 (pulsed radiofrequency, PRF)。PRF临床较 为常用,因其不引起神经改变,可避免对痛觉和触 觉纤维造成热凝损伤,疼痛缓解效果好,并发症和 不良反应较少。缺点是镇痛效果持续时间短, 不少 病人需反复治疗;而 CRF 易导致不可逆的神经损 伤,治疗后虽然疼痛缓解时间长,但并发症和不良 反应相对较多[2,3]。因此,理想的方法是既能延长镇 痛效果,又能减少治疗相关不良反应,从而提升对 PHN 的疗效, 使病人获益。为此, 本研究团队通 过查阅国内外文献,发现国外有学者利用常规 PRF (42°C~45°C) 联合 CRF (60°C~65°C) 治疗其他部 位的神经性疼痛,效果满意且并发症少或轻微[4-6], 本研究在目前 CRF 和 PRF 技术成熟应用的基础上, 将常规 PRF 联合 45℃ CRF 用于治疗胸段 PHN,探 讨其疗效和安全性。

方 法

1. 一般资料

本研究已通过广西壮族自治区南溪山医院伦理委员会的伦理审核 (2019NY-E-001)。选择 2020 年 3 月至 2021 年 7 月在疼痛科住院治疗且符合纳入标准的胸段 (T_1-T_{12}) PHN 病人共 120 例(根据 O'Brien和 Muller 给出的样本量估计公式 [T],检验水准 $\alpha=0.05$,检验效能为 0.8,每组至少 25 例)。采用随机数字表法将病人分为观察组(Con 组),采用PRF 联合 CRF 治疗,对照组(Exp 组)采用 PRF治疗,每组 60 例,两组病人年龄、性别和病程比

较差异无统计学意义(见表1)。

纳入标准: ①符合 PHN 诊断标准 $^{[2]}$,有明确带状疱疹病史; ②疼痛范围位于 T_1 - T_{12} 脊神经分布区域; ③视觉模拟评分法 (visual analogue score, VAS) 评分 \geq 5; ④依从性良好可配合治疗; ⑤本次就诊前 1 周内未针对 PHN 进行有创治疗。

排除标准:①影像学提示椎管内外感染、肿瘤或脊柱畸形;②存在严重心肺疾病、肝肾功能异常、凝血功能障碍、呼吸道感染及糖尿病;③胸椎旁拟穿刺区域皮肤感染;④有药物过敏史;⑤非PHN引起的肋间神经痛。

所有病人治疗及随访资料完整, 无脱落。

2. 方法

治疗操作均由有多年手术经验的副主任医师及以上职称医师完成。

- (1)诊断性脊神经根阻滞:对病人进行仔细体格检查,确定病人疼痛性质以及受累脊神经分布区域,并记录病人 VAS 评分。根据体格检查结果确定受累脊神经节段并标记相应脊柱棘突。病人俯卧于治疗床,腹下垫枕,常规监测病人心电图、无创血压和脉搏氧饱和度,在超声引导下经胸椎旁入路实施诊断性阻滞,采用 2% 利多卡因,每节段注入 0.5 ml,不超过 3 个节段。注药后 30 min 对病人再次疼痛评估,VAS 评分≤ 3 或较阻滞前 VAS 评分下降超过50%者进入下一阶段。
- (2) CT 引导下背根神经节 (dorsal root ganglion, DRG) 射频治疗:①病人取俯卧位,腹下垫枕,制动,开放静脉通路,滴注林格氏液。常规监测病人心电图、无创血压和脉搏氧饱和度,鼻导管给氧 (2 L/min)。根据前述诊断性脊神经根阻滞显效的位置确定相应的 DRG 射频治疗节段, 在相应的区域放置定位格栅;② CT 扫描确认病变 DRG 所在的椎间孔位置,设计穿刺路径,测量穿刺深度与角度,并进行体表标记。常规消毒铺巾,1% 利多卡因局部浸

^{*}基金项目: 国家自然科学基金培育基金(GJPY2018002); 广西壮族自治区卫生健康委员会自筹经费科研课题(Z20201032)

[△] 通信作者 蒋宗滨 2010pm@163.com

表	1	两组:	病人	一般	答米	斗比较

	对照组 (n = 60)	观察组 (n = 60)	t/卡方值	P
年龄	58.4±4.2	58.2 ± 4.8	0.121	0.90
性别(男/女)	27 (45.0%)/33 (55.0%)	29 (48.3%)/31 (51.7%)	0.335	0.86
病程(月)	3.6 ± 0.8	3.4 ± 0.9	1.154	

润麻醉。在 CT 三维引导下经椎旁用长 10 cm 的射频穿刺针 (0.9 mm×98 mm) 与背部皮面按预设路径朝棘突中线穿刺,首先触及胸椎板后外侧骨质,然后退针至皮下稍偏外侧再次进针,针尖紧贴椎板外侧缘,一旦穿过横突间韧带即可到达相应 DRG 所在的椎间孔内; ③ CT 轴位扫描及三维重建反复确认穿刺针进入椎间孔内,且未触及硬膜囊和脊髓,回吸未见血液或脑脊液后,进行电刺激测试,以 50 Hz、0.3 V 电压刺激出现相应节段感觉神经受刺激征象,且 2 Hz、0.6 V 刺激时无运动神经刺激征时的针尖位置为最佳。

对照组(PRF治疗): 确认针尖位置后,脉冲射频参数设置为 2 Hz、45 V、42 C,进行以 120 s为 1 个周期,15 s 的间歇期,重复 4 次共计 480 s。

观察组(PRF 联合 45 °C CRF 治疗): 在完成对照组 PRF 治疗的基础上,追加 45 °C CRF 治疗。设定 CRF 温度为 45 °C,周期为 120 s,间隔 10 s,进行重复 2 次共计 240 s。

两组病人术毕拔出射频针,分别测试双上、下肢肌力无异常后平车送返病房观察。两组病人均同时口服加巴喷丁胶囊(江苏恒瑞医药,H20040527)300 mg,每日3次作为基础镇痛。

3. 观察指标

- (1) 疼痛评估: 采用简版 McGill 疼痛问卷调查 (short-form McGill pain questionnaire, SF-MPQ) 于治疗前、治疗后第 3 天、1 周、4 周、12 周、24 周评估病人疼痛性质和强度。SF-MPQ 包括疼痛分级指数 (pain rating index, PRI)、VAS 评分和现时疼痛强度评分 (present pain intensity, PPI),将三项评分相加得出 SF-MPQ 总分 [8]。
- (2) 睡眠质量评估:采用匹兹堡睡眠指数 (Pittsburgh sleep quality index, PSQI) 评估治疗前、治疗后第3天、1周、4周、12周、24周的睡眠质量情况,包括睡眠质量、入睡时间、睡眠时间、睡眠效率、睡眠障碍、催眠药物、日间功能7个因子,每个因子0~3分(无困难、轻度困难、重度困难),总分21分,评分越低睡眠质量越好。
- (3) 安全性评估:包括术中、术后并发症及药物不良反应;局部麻醉、介入治疗中的血流动力学

剧烈波动,血压超过或低于术前基础血压的 30% 或收缩压 (systolic blood pressure, SBP) ≥ 180 mmHg、呼吸困难、局部麻醉药物中毒情况;术后血气胸、神经损伤、穿刺部位疼痛、出血及椎管内感染情况,术后毁损节段皮肤感觉情况;有无痛性麻木、感觉异常(如蚁行感)等。

4. 统计学分析

使用统计学软件 SPSS 25.0 对数据进行统计分析。 计量资料如符合正态分布以均数 ± 标准差 (\bar{x} ± SD) 表示,否则以(中位数 ± 四分位数间距)表示; 计数资料以 [例数(百分比),n (%)] 表示。组间 计量资料比较采用重复测量的方差分析,并发症或 不良反应比较采用 Fisher's 确切概率法。P < 0.05 为 差异有统计学意义。

结 果

1. 两组病人疼痛缓解比较

通过重复测量双因素分析及多重比较,两组 病人 SF-MPQ 总分差异显著 (F = 477.360), 时间对 SF-MPQ 总分有影响 (F = 72.62), 治疗方法与时间 的交互作用对 SF-MPQ 总分有影响 (F = 73.410); 各 时点两组病人在治疗前 SF-MPQ 总分相当,差异 无统计学意义;治疗后3天,两组SF-MPQ总分 无差异, 但观察组 SF-MPQ 总分显著低于治疗前; 治疗后 1 周,两组 SF-MPQ 总分差异显著,观察组 SF-MPQ 总分与治疗后 3 天差异不显著 (P = 0.159); 治疗后 4 周,两组 SF-MPQ 总分差异显著,且观察 组 SF-MPQ 总分显著低于治疗后 1 周 (P = 0.006); 治疗后 12 周,两组 SF-MPQ 总分差异显著,观察组 SF-MPQ 总分与治疗后 4 周无显著差异 (P = 0.506); 治疗后 24 周,两组 SF-MPQ 总分差异显著,观察组 SF-MPQ 总分显著低于治疗后 12 周,对照组 SF-MPQ 总分与治疗前差异不显著 (P=0.861), 见图 1。

2. 两组病人睡眠质量比较

两组病人 PSQI 评分差异显著 (F = 371.51),时间对 PSQI 评分有影响 (F = 62.040),治疗方法与时间的交互作用对 PSQI 评分有影响 (F = 60.710);各时点两组病人在治疗前 PSQI 评分相当,差异无统

学意义 (P=1.000);治疗后 3 天,两组 PSQI 评分无差异,但观察组 PSQI 评分显著低于治疗前;治疗后 1 周,两组 PSQI 评分差异显著,观察组 PSQI 评分与治疗后 3 天差异不显著 (P=0.157);治疗后 4 周,两组 PSQI 评分差异显著,且观察组 PSQI 评分显著低于治疗后 1 周 (P=0.006);治疗后 12 周,两组 PSQI 评分差异显著,观察组 PSQI 评分与治疗后 4 差异显著;治疗后 24 周,两组 PSQI 评分与治疗后 4 差异显著;观察组 PSQI 评分与治疗后 12 周差异不显著 (P=1.000),对照组 PSQI 评分与治疗前差异不显著 (P=0.504),见图 2。

3. 两组病人并发症和不良反应比较

两组病人并发症和不良反应均较少,观察组病人血肿 1 例,穿刺部位疼痛 1 例,感觉异常 1 例;对照组病人血气胸 1 例,穿刺部位疼痛 1 例,感觉异常 1 例,两组病人在治疗过程中均无其他不适,以及也无前文所述的其他并发症和不良反应。本研究目的是为避免高温(55℃及以上)热凝对神经的不可逆性损伤,而将热凝温度设为 45℃,因此未讨论热损伤所引起的不良反应。

讨论

PHN 病人的药物治疗无明确特效药物,只能缓解其部分疼痛,且部分病人会出现药物不良反应。目前射频治疗由于安全性高,逐渐成为 PHN 微创介入较为满意的治疗手段^[9]。其中,PRF 是近年射频治疗的主要手段,已被证实镇痛效果起效快,但

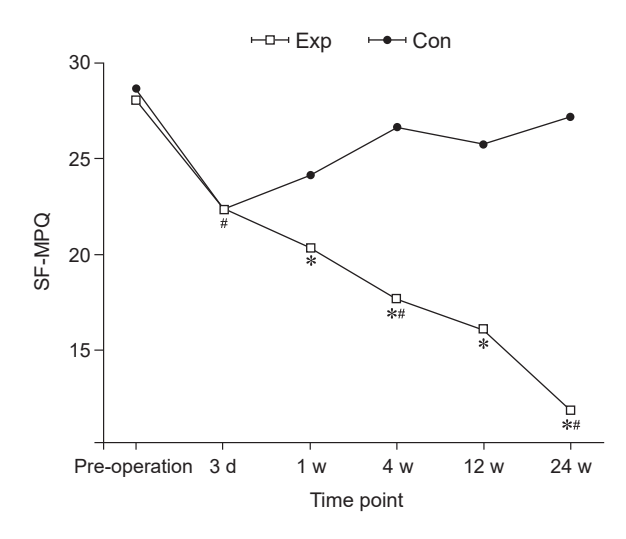


图 1 两组治疗前后 SF-MPQ 总分比较 *P < 0.05,与对照组相比; *P < 0.05,与前一个检测时点相比

PRF治疗后在短时间内易复发;而 CRF 由于温度超 过60℃,会造成皮肤感觉减退或丧失、运动功能障 碍等不良反应[10]。如能将 PRF 镇痛效果好及 CRF 缓解疼痛时间长的优点结合,且避免两者的不足, 则可能会极大提升 PHN 病人的治疗效果。国外有 学者对眶下神经痛病人进行了 PRF (42℃) 和 CRF (60℃)的联合治疗,结果显示术后1个月、3个 月、6个月、1年、18个月和2年的镇痛疗效分别 为 95.5%、86.4%、81.8%、72.7%、72.7% 和 72.7%。 有72.7%的病人术后1周至2个月内有轻度麻木, 但症状逐渐消失,而其他并发症未被发现[6]。还 有学者对原发性三叉神经痛病人进行了 PRF (45℃) 结合 CRF (60 $^{\circ}$ $^{\circ}$ $^{\circ}$) 的联合射频治疗, 1 年内 镇痛效果维持在66.7%,仅出现轻度并发症(面部 感觉异常和咬肌无力)^[4]。Elawamy等^[5]发现PRF (60°C)结合 PRF (42°C)比单独 PRF (42°C)及单独 CRF (75℃)治疗三叉神经痛更有效,其并发症和不 良反应更少。

目前尚未有 CRF 联合 PRF 治疗 PHN 的研究报道。本团队在临床经验及结合文献报道的基础上,本研究选择胸段 PHN 病人背根神经节作为治疗靶点,进行 PRF 联合 CRF (45℃)治疗。结果显示:治疗 3 天后 SF-MPQ 总分显著低于治疗前,提示联合治疗和 PRF 治疗后均能迅速达到镇痛效果;治疗后 1 周至 24 周联合治疗的 SF-MPQ 总分均显著低于对照组,且下降趋势明显,提示联合治疗的镇痛效果在 1 周后仍能维持,且随着时间推移更能体现疼痛缓解效果;而对照组病人 SF-MPQ 评分在治疗

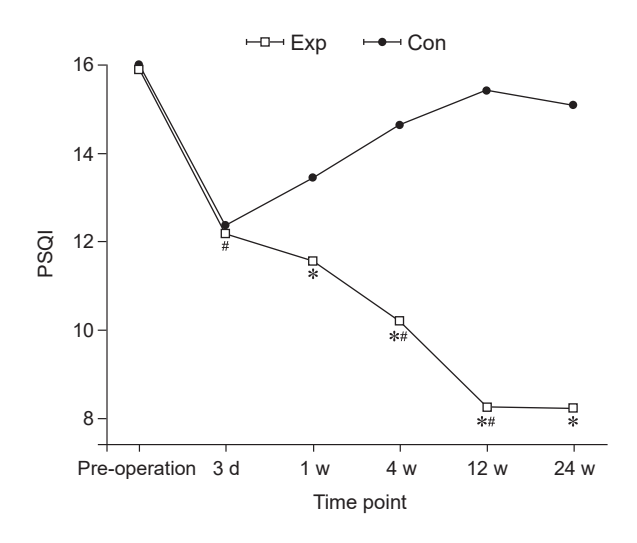


图 2 两组治疗前后 PSQI 评分比较 *P < 0.05,与对照组相比; *P < 0.05,与前一个检测时点相比

后 1 周开始增加, 虽未有统计学差异, 但随着时间 推移该评分逐渐升高至24周时达到治疗前水平, 提示 PRF 缓解疼痛的效果在 1 周左右开始减退,至 24 周时回到治疗前水平。病人睡眠质量的变化趋势 与疼痛类似,均在治疗后3天有明显改善, PSQI评 分显著低于治疗前; 但从治疗后 1 周至 24 周, 对 照组病人的 PSQI 评分开始上升,并回到治疗前水 平,提示 PFR 治疗后短期内由于疼痛缓解,睡眠改 善,但在治疗后24周时,睡眠由于疼痛的复发影响, 回到治疗前水平。观察组病人 PSQI 评分在治疗后 1周至24周的变化趋势,也与疼痛改善趋势相符, 呈显著下降趋势,至治疗后24周时达最低水平, 提示联合治疗对 PHN 病人的睡眠改善能维持至治 疗后24周,且随着时间进展,睡眠越发得到改善。 安全性上,由于目前 PRF 的应用已较成熟,加上 采用 CRF 治疗,并发症和不良反应在两组均仅有 个例。

综上所述,常规 PRF 联合 CRF (45℃)治疗胸段 PHN 病人,能迅速和较长时间缓解疼痛和改善睡眠,并随着时间进展,效果越显著,且安全性高,不良反应少。

本研究的局限性在于样本例数较少,且为单中心研究,疗效和安全性评估时间较短,因此需要多中心、大样本及更加长期的评估以判断其疗效;其次,本研究旨在评估联合疗法对 PHN 的镇痛效果,未评估病人的其他伴随症状(如痒、紧束感等),未分层评估其对不同临床类型 PHN(如激惹或麻痹型等)的疗效,将在后续研究中完善和细化。此外,本研究在 CRF 治疗参数上仅设定了 $45 \, ^{\circ}$ C,其治疗后病人所需的相关镇痛药物剂量减少程度如何未做讨论;最后,其他温度,如 $50 \, ^{\circ}$ C 及 $55 \, ^{\circ}$ C 的 CRF 联合 PRF 的疗效是否比 $45 \, ^{\circ}$ C 时更好,以及安全性如何,也将是后续研究所探讨的方向。

利益冲突声明: 作者声明本文无利益冲突。

参考文献

- [1] 李育婷,李业贤,郭姝婧,等.带状疱疹后遗神经痛治疗研究进展[J]. 实用老年医学,2020,34(1):10-14.
- [2] 于生元,万有,万琪,等.带状疱疹后神经痛诊疗中国专家共识[J].中国疼痛医学杂志,2016,22(3):161-167.
- [3] Wu CY, Lin HC, Chen SF, et al. Efficacy of pulsed radiofrequency in herpetic neuralgia: a Meta-analysis of randomized controlled trials[J]. Clin J Pain, 2020, 36(11):887-895.
- [4] Ali Eissa AA, Reyad RM, Saleh EG, et al. The efficacy and safety of combined pulsed and conventional radiofrequency treatment of refractory cases of idiopathic trigeminal neuralgia: a retrospective study[J]. J Anesth, 2015, 29(5):728-733.
- [5] Elawamy A, Abdalla EEM, Shehata GA. Effects of pulsed versus conventional versus combined radiofrequency for the treatment of trigeminal neuralgia: a prospective study[J]. Pain Physician, 2017, 20(6):E873e881.
- [6] Jia Y, Chen Z, Ren H, et al. The effectiveness and safety of 42°C pulsed radiofrequency combined with 60°C continuous radiofrequency for refractory infraorbital neuralgia: a prospective study[J]. Pain Physician, 2019, 22(3):E171-e179.
- [7] 陈新林. 单病例随机对照 (N-of-1) 试验的样本量估计方法 [J]. 中国循证医学杂志, 2019, 19(7):871-874.
- [8] 王蕊,孙明洁,于洋,等.脉冲射频与短时程脊髓电刺激治疗带状疱疹后神经痛的比较研究[J].中国疼痛医学杂志,2019,25(11):831-836.
- [9] 翟志超,刘思同,李慧莹,等.带状疱疹后神经痛治疗研究进展[J].中国疼痛医学杂志,2016,22(1):55-58
- [10] 闫伟东,郑碧鑫,曾宪政,等.脉冲射频技术治疗带 状疱疹后神经痛的研究进展[J].中国疼痛医学杂志, 2019, 25(10): 778-780, 785.